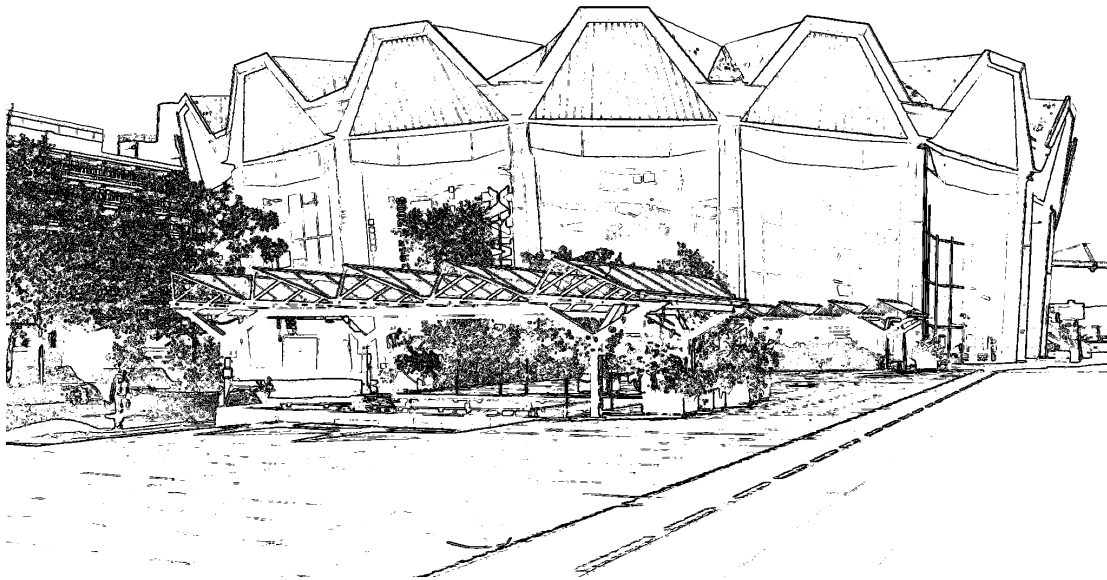




RUHR  
UNIVERSITÄT  
BOCHUM

RUB

70. Jahrestagung  
der  
Deutschen Geophysikalischen  
Gesellschaft



Vorträge und Poster (Übersicht)

15.–18. März 2010

Ruhr-Universität Bochum

## Sessions (Übersicht)

Die Vorträge und Poster finden entsprechend der folgenden Übersicht in 20 Sessions statt.

		Saal 1	Saal 2a	Saal 3	Seminarraum
Montag	10:30-12:30	S1	EW	BP	
		Mittagspause			
	14:00-17:00	Eröffnungsveranstaltung und -vortrag (Audimax)			
	ab 17:00	Eröffnung der Firmenausstellung			
Dienstag	08:30-10:10	S1	EW	UI	GE
		Kaffeepause			
	10:40-12:20	S1	S2	UI	GE
		Mittagspause			
	13:30-14:30	Plenarvortrag (Saal 2b)			
	14:30-15:50	GG	S2	UI	EP
		Kaffeepause			
	16:00-17:30	Postersession (Saal 2b) BP, EW, GE, GG, S1, UI, GZ, PL			
Mittwoch	08:30-10:10	GD	S2	DGG-Kolloquium	RD
		Kaffeepause			
	10:40-12:20	EM	SO	DGG-Kolloquium	GZ
		Mittagspause			
	13:30-14:30	Plenarvortrag (Saal 2b)			
	14:30-15:50	EM	SO	CO2	PL
		Kaffeepause			
	16:00-17:30	Postersession (Saal 2b) AG, CO2, EM, GT, MG, RD, SO			
Donnerstag	08:30-10:10	LS	SO	CO2 / GT	MG
		Kaffeepause			
	10:40-11:40	LS	SO (bis 12:20)	GT	MG
		Mittagspause			
	13:00-15:30	Abschlussveranstaltung und -vortrag (Saal 2a)			

### Abkürzungen

**PV** Plenarvorträge

**AG** Achäogeophysik

**BP** Bohrlochgeophysik

**CO2** CO<sub>2</sub>-Sequestration

**EM** Elektromagnetik

**EP** Extraterrestische Physik

**EW** Early Warning

**GD** Geodynamik

**GE** Geoelektrik

**GG** Geodäsie und Gravimetrie

**GT** Geothermie

**GZ** Geschichte und Zukunft der Geophysik

**LS** Hangrutschungen

**MG** Marine Geophysik

**PL** Planetologie

**RD** Georadar

**S1** Modellierung und Imaging

**S2** Das Herdgebiet von Erdbeben

**SO** Seismologie

**UI** Umwelt- und Ingenieurgeophysik

# Vorträge (Übersicht)

## Montag, 15. März 2010

		Vortrag 1	Vortrag 2	Vortrag 3	Vortrag 4	Vortrag 5	Vortrag 6	
Montag	10:30–12:30	Saal 1 SI	<b>Andreas Fichtner</b> Full waveform tomography on regional to global scales: Methodologies, applications and future challenges		<b>Daniel Köhn</b> Application of 2-D elastic full waveform tomography to 3-D synthetic wavefield for a 1-D medium	<b>Norman Ettrich</b> Seismische Wahre-Amplituden Tiefen-Migration im Winkelbereich	<b>Dominik Michel</b> Seismische Beam-Migration zur schnellen Erzeugung von strukturellen Untergrundabbildungen	<b>Cédric Legendre</b> Large-scale shear wave velocity structure of the upper mantle beneath Europe and surrounding regions
		Saal 2a EW	<b>Simone Cesca</b> Rapid detection of rupture directivity within Early Warning Systems	<b>Jimin Lee</b> Automated P- and S-onset estimation using kurtosis and autoregressive prediction	<b>Matthias Hort</b> Exupéry: a mobile fast response system for managing a volcanic crisis (Zuvor Mo., 11:50 – 12:10) <b>Martin Breunig</b> Development of information systems ... (Annulliert)	<b>Christian Arnhardt</b> A sensor based landslide monitoring system integrated in an Early Warning Structure		
		Saal 3 BP	<b>Christian Koller</b> Azimutabhängige Prüfung der Ringraumdichtigkeit von Grundwassermessstellen und Brunnen	<b>Christopher Virgil</b> Interpretation von dreikomponentigen Bohrlochmagnetometerdaten	<b>Sebastian Ehmman</b> Störkörperdetektion mittels 3-Komponenten-Magnetometerdaten	<b>Susann Berthold</b> Numerical simulation and measurement of density-driven convective flows in boreholes	<b>Matthias Kopf</b> Seismic Prediction While Drilling (SPWD): Seismische Voraus-erkundung in Bohrungen durch Anwendung des Phased-Array	<b>Benedikt Wöhrl</b> Estimation of Rock Mechanical Properties from Formation Evaluation Logs - A Sensitivity Study
14:00–17:00	Audimax PV	<b>Eröffnungsveranstaltung und -vortrag</b> <b>Olaf Podlaha</b> (Shell International Exploration and Production) <i>Application of Geophysical Technology in Exploration, Development and Production of Hydrocarbon Resources: Technology Challenges for Future Hydrocarbon Exploration</i>						

## Dienstag, 16. März 2010 (Vormittag)

		Vortrag 1	Vortrag 2	Vortrag 3	Vortrag 4	Vortrag 5	
Dienstag (Vormittag)	8:30–10:10	Saal 1 SI	<b>Brigitte Endrun</b> 2-D Modellierung von S-Receiver Functions	<b>Jan van der Kruk</b> Full-waveform Inversion of Crosshole Ground Penetrating Radar Data to Characterize a Gravel Aquifer	<b>Lasse Lambrecht</b> Simulation seismischer Wellen mit der Spektralen-Finite-Elemente-Methode in der Umgebung eines Tunnels	<b>Thomas Fridrich</b> Coupled seismic and electromagnetic 3D wave field modeling in multilayered media	<b>Björn Heinecke</b> An adaptive coupling strategy for joint inversion of MT, seismic and gravity data
		Saal 2a EW	<b>Alfons Buchmann</b> Early Warning System for Transportation Lines	<b>Friedemann Wenzel</b> EDIM: Earthquake Disaster Information System for the Marmara Region, Turkey	<b>Hannes Taubenböck</b> Tsunami risk in Indonesia – an interdisciplinary approach towards tsunami early warning and an evacuation	<b>Ioanna Papoulia</b> An on/offshore realtime seismic array for seismo- logical and tsunami observations the SEHELLARC project Western Greece	<b>Mathilde Sörensen</b> Probabilistic tsunami hazard assessment for the Mediterranean Sea
		Saal 3 UI	<b>David Markwart</b> Geophysikalische Untersuchungen von Diatremstrukturen im Vogtland	<b>Fabrizio Musacchio</b> Erkundung einer römischen Siedlung in Nettersheim mit geophysikalischen Methoden	<b>Thedda Hänsler</b> Kombination seismischer und geoelektrischer Messungen zur Baugrunderkundung in Karstgebieten	<b>Olaf Brenner</b> Geophysikalische Erkundung der Lage eines Wetterschachtes in Witten	<b>Amir Haroon</b> Hohlraumsuche mit elektrischen- und elektromagnetischen Methoden in der Stadt Taunusstein
		Seminarraum GE	<b>Andreas Hördt</b> Studien zum Ursprung der induzierten Polarisation mit gelgefüllten Sandsteinproben	<b>Sven Nordsiek</b> Abschätzung der Permeabilität von Sandsteinen aus Spektren der Induzierten Polarisation	<b>Stefan Costabel</b> Abschätzung der relativen hydraulischen Leitfähigkeit mithilfe der Kernspinresonanz im Erdmagnetfeld	<b>Mohamed Attwa</b> The use of electrical sounding data to estimate aquifer hydraulic characteristics at the field scale	<b>Norman Wagner</b> Ein thermodynamischer Ansatz zur Kopplung der Saugspannungsbeziehung mit dem dielektrischen Relaxationsverhalten von Böden
	10:40–12:20	Saal 1 SI	<b>Niels Köther</b> 3D Modellierungen von gravimetrischen und magnetischen Messungen zur Unterstützung der Exploration eines unbekanntes Beckens	<b>Thomas Günther</b> $\tau$ - $f$ -Inversion: Vollständige spektrale Inversion von SIP-Feld-Messungen auf Basis der Debye-Zerlegung	<b>Johannes Kenkel</b> 2D-SIP-Modellierung mit anisotropen Leitfähigkeiten	<b>Martin Afanasjew</b> Time-Domain TEM Simulation Using a 3D Finite Element Discretization	<b>Tina Wunderlich</b> Stabilized inversion of EM38 data measured in different heights
		Saal 2a S2	<b>Marco Bohnhoff</b> Oscillation of fluid-filled cracks triggered by degassing of CO <sub>2</sub> due to leakage along wellbores		<b>Dirk Becker</b> Hinweise für akustische Emissionen als Sensor für statische und dynamische Spannungsänderungen	<b>Florian Wolf</b> Analyse von Erdbebenschwämen in Zentralamerika im Hinblick auf Fluidaufstieg	<b>Edith Korger</b> The 1999 earthquake swarm at Gakkel Ridge, Arctic Ocean Relocalization and Analysis
		Saal 3 UI	<b>Thomas Jahr</b> Eine lokale geophysikalische Untersuchung zur Umgebung der seismischen GRSN-Station Heukewalde in Thüringen	<b>Ann-Kathrin Nüsch</b> Reproduzierbarkeit elektromagnetischer Messungen im oberflächennahen Bereich	<b>Martina Braun</b> Einfluss der elektrischen Leitfähigkeit bei der Bestimmung der 2D Wassergehaltsverteilung in der Inversion von SNMR Daten	<b>Tony Ballhause</b> Möglichkeiten zur verbesserten Längenbestimmung von Pfählen unter schwierigen Randbedingungen mit einem Mehrkanal-Messsystem	<b>Hui Ding</b> Geophysikalische Messungen auf der Schachanlage Asse II (wie Poster UI P23) <b>Hamdy Seisa</b> The impact of lateral variations along upper layers (Annulliert)
		Seminarraum GE	<b>Rico Hübner</b> Verbesserte Methoden für die Auswertung von time-lapse ERT zum Monitoring oberflächennaher Fließwege am Hang	<b>Michael Grinat</b> Vertikale Elektrodenstrecken zur Erkundung zeitlicher Änderungen im Salz- / Süßwasser-Übergangsbereich auf Borkum	<b>Norbert Klitzsch</b> How to Invert Capacitive Resistivity (Line Electrode) Measurements with DC Inversion Programs	<b>Tobias Hermann</b> Geoelektrische Wiederholungsmessungen am Geodynamischen Observatorium Moxa	<b>Erika Lück</b> Der GEOPHILUS ELECTRICUS im Praxiseinsatz — Elektrische Leitfähigkeitskartierung landwirtschaftlich genutzter Böden

**Dienstag, 16. März 2010 (Nachmittag)**

		Vortrag 1	Vortrag 2	Vortrag 3	Vortrag 4	
Dienstag (Nachmittag)	13:30–14:30	<b>Taras Gerya (ETH Zürich)</b> <i>Numerical modeling of geodynamic and planetary processes</i>				
	Saal 2a	PV				
	Saal 1	GG	<b>Carl Gerstenecker</b> Ground based InSAR: A new technique to observe areal displacements	<b>Gerhard Jentzsch</b> Nord-Viktoria-Land, Antarktis: Ergebnisse wiederholter GPS-Kampagnen und erste Ergebnisse mikrogravimetrischer Messungen	<b>Jessica Lücke</b> 3D Inversion von Schwereanomalien über Salzstöcken: Anwendung auf den Othmarschen-Langensfeld-Diapir in Hamburg	<b>Stephanie Kirschner</b> Bestimmung physikalischer Erdparameter über eine Inversion der Erdrotationsparameter
	Saal 2a	S2	<b>Georg Dresen</b> Earthquake rupture nucleation and propagation: A laboratory perspective	<b>Tom M. Mitchell</b> Pulverized Fault Rocks and Damage Asymmetry along the Arima-Takatsuki Tectonic Line, Japan: Implications for earthquake physics	<b>Grzegorz Kwiatak</b> Frequency-magnitude characteristics down to magnitude -4.4 for induced seismicity recorded at Mponeng gold mine, South Africa	<b>Katrin Plenkers</b> On the effect of local heterogeneities on the completeness of a nanoseismic catalog ( $-5 < M_w < -1$ ) recorded in Deep Gold Mine
	Saal 3	UI	<b>Margarete Vasterling</b> Thermalaufnahmen mit einem unbemannten Flugsystem über Kohlebrandgebieten in der nordchinesischen Provinz Xinjiang	<b>Sabine Kruschwitz</b> Einsatz zerstörungsfreier Prüfverfahren zur Detektion von Ablösungen auf Betonbrückendecks	<b>Holger Preetz</b> Einfluss der magnetischen Suszeptibilität auf Metalldetektoren für die Landminensuche: Fallbeispiel Angola	<b>Achim Mester</b> Entwicklung einer Zeitbereichselektrometrie-Sonde für das "Direct Push"-Verfahren
Seminarraum	EP	<b>Bastian Körtgen</b> Simulation der Bewegung hochenergetischer Ionen nahe des Saturnmondes Enceladus	<b>Laura Pascharat</b> Vergleich von Fourier- und Wavelettransformation im Hinblick auf die Analyse turbulenter Prozesse	<b>Jonas Berndt</b> Wellenturbulenz in den Magnetosphären von Uranus und Neptun	<b>Heiko Gutmann</b> Turbulenz des Sonnenwindes im äußeren Sonnensystem	
16:00–17:30	Saal 2b	Poster	<b>Postersession</b> BP, EW, GE, GG, S1, UI, GZ, PL			

## Mittwoch, 17. März 2010 (Vormittag)

		Vortrag 1	Vortrag 2	Vortrag 3	Vortrag 4	Vortrag 5	
Mittwoch (Vormittag)	8:30–10:10	Saal 1 GD	<b>Alexei Petrunin</b> Origin and Evolution of the Dead Sea Transform Fault: Results from 3D Thermo-mechanical Modeling Study.	<b>Ioanna Papulia</b> Crustal deformation in the southwestern Hellenic Arc	<b>Thomas Jahr</b> Das supraleitende Gravimeter in Moxa: 8 Jahre Gezeitenparameter-Variation — können wir (noch) etwas lernen?	<b>Peter Schindler</b> Strainmeter am Geodynamischen Observatorium Moxa: neue Ergebnisse	<b>Stefanie Zeumann</b> Gezeiten- und andere Signale in Grundwasserbohrungen im KTB Gebiet
		Saal 2a S2	<b>Michael Alber</b> Analyse eines bergbauinduzierten ML=4,0 Ereignisses	<b>Monika Bischoff</b> Herdmechanismen für bergbauinduzierte Ereignisse in Hamm	<b>Daniela Kühn</b> Momententensor-inversion in stark heterogenen Medien: Pyhäsalmi-Mine, Finnland	<b>Frank Roth</b> Coulomb-Spannungstransfer von der Hellenischen Subduktionszone auf Bruchzonen mit Flachbeben im Bereich von Kreta	<b>Andrea Brüstle</b> Investigations of analogue seismograms of the 1956 Amorgos-Santorini earthquake ( $M_s=7.4$ )
		Saal 3	<b>DGG-Kolloquium</b>				
	10:40–12:20	Seminarraum RD	<b>Tony Reimann</b> Applied Geophysics and Geochronology - tools to unravel Holocene coastal dynamics of Sylt (German Bight)	<b>Kazunori Takahashi</b> Scattering due to soil inhomogeneity in GPR landmine detection (Zuvor Mi., 9:30 – 9:50) <b>Katja Lindhorst</b> Hydroacoustic ... (Verschoben auf Do. 11:00 – 11:20)	<b>Marek Naser</b> Vergleich von modellierten Daten mit Messdaten an wasser- und luftgefüllten PE-Leitungen. Was können wir für eine vollständige Interpretation lernen?		
		Saal 1 EM	<b>Rita Streich</b> Controlled source electro-magnetic modeling studies: Low frequency stabilization using an auxiliary potential	<b>Henrik Sabra</b> Gosetal anomaly a possible Rammelsberg Twin? Data acquisition, interpretation and generic model generation.	<b>Pritam Yogeshwar</b> Grundwasserkontamination bei Roorkee / Indien: 2D Joint Inversion von Radiomagnetotellurik und Gleichstromgeoelektrik Daten	<b>Bernhard Siemon</b> Aerogeophysikalische Untersuchung der Grundwassermineralisation im Werra-Kali-Gebiet	<b>Klaus Lippert</b> Erkundung eines Aquifers unter dem Mittelmeer vor der israelischen Küste mit LOTEM
		Saal 2a SO	<b>Ludger Küperkoch</b> Automatische Ereignis- und Phasenidentifikation	<b>Andreas Schmidt</b> Analyse dispersiver Signale auf Grundlage von Kreuzkorrelationen seismischen Rauschens für amphibische Netzwerke	<b>Tobias Horstmann</b> Verbesserung einer Kreuzkorrelationsanalyse mit ungünstiger Quellverteilung durch Slant Stack und Migrationsanalyse	<b>Jörn Groos</b> Auswirkungen der Zeitfensterlänge und Normierungsmethoden auf gestapelte Kreuzkorrelationsfunktionen der seismischen Bodenunruhe auf kontinentaler Skala	<b>Danuta Garus</b> 1 bit normalization compared with windows selection for crosscorrelation of ambient seismic noise
		Saal 3	<b>DGG-Kolloquium</b>				
		Seminarraum GZ	<b>Wolfgang Jacoby</b> Geophysik in China: Ein Erfahrungsbericht	<b>Claus Prodehl</b> 100 Jahre explosionsseismische Erkundung der Erdkruste — die Erfolgsgeschichte einer Spezialwissenschaft		<b>Franz Jacobs</b> Adolf Schmidt (1860 – 1944)	<b>Uli Arndt</b> Die Seismik-AG am St.-Michael-Gymnasium Monschau

**Mittwoch, 17. März 2010 (Nachmittag)**

		Vortrag 1	Vortrag 2	Vortrag 3	Vortrag 4		
Mittwoch (Nachmittag)	13:30–14:30	Saal 2a	PV	<b>Torsten Tischner</b> (Bundesanstalt für Geowissenschaften und Rohstoffe, Hannover) <i>GeneSys: A pilot project for the extraction of heat from low permeable sedimentary rock</i>			
	14:30–15:50	Saal 1	EM	<b>Kaushalendra Bhatt</b> Microseisms and Swell as source of noise for marine EM data	<b>Marion Jegen-Kulscar</b> Imaging of Hydration and Dehydration Cycle in a Subduction Zone: Results of an Amphibious Magnetotelluric Study in Costa Rica	<b>Heinrich Brasse</b> Magnetotelluric studies of the Central Andean volcanic arc	<b>Michael Häuserer</b> 3D anisotropic electrical conductivity model of the crust and upper mantle beneath the Rwenzori region in Uganda with evidence for a low velocity layer
		Saal 2a	SO	<b>Lars Ceranna</b> Beeinflussen Mikrobarome die Mikroseismik?	<b>Benjamin Sick</b> Inspektion kontinuierlicher Array-Seismogramme mittels Super-Sonogrammen	<b>Rongjiang Wang</b> Denoising of GPS seismograms using the S transform technique combined with a polynomial trend correction	<b>Andreas Eisermann</b> Ambiguities in earthquake location for three station networks (2D)
		Saal 3	CO2	<b>Jana Börner</b> Modellierungen und Laboruntersuchungen für das elektromagnetische Monitoring der CO <sub>2</sub> -Sequestrierung in einem Sandsteinaquifer	<b>Julia Götz</b> Time-Lapse Seismic Surface-Downhole Measurements for Monitoring CO <sub>2</sub> -Storage in Ketzin, Germany	<b>Peter Bergmann</b> Modelling and field data results of 2D seismic monitoring at the CO <sub>2</sub> SINK-project	<b>Lars Houpt</b> Seismisches Monitoring im Rahmen des Pilotprojektes CLEAN
		Seminarraum	PL	<b>Kai Wünnemann</b> Laboratory analogue and numerical experiments of meteorite impacts on planetary surfaces	<b>Dirk Elbeshausen</b> Carancas: The smallest and first eye-witnessed impact crater event on Earth	<b>Harold Kühn</b> The meteorite impact crater Waqf as Suwwan(Jordan): Dynamic and static modeling of crater formation and the obs. gravity anomaly	<b>Dirk Elbeshausen</b> Melt production in oblique and giant impacts: Geodynamic consequences for planetary interior
16:00–17:30	Saal 2b	Poster	<b>Postersession</b> AG, CO2, EM, GT, MG, RD, SO				

**Vorträge des DGG-Kolloquiums****08:30 Uhr bis 10:10 Uhr**

**Georg Hengst** und **Friedrich W. Bauer** *Entwicklungen und Anwendungen zur messtechnischen Steuerung und Kontrolle der Hohlraumentwicklung von Salzkavernen*

**Jens Wunderlich** und **Sabine Müller** *Entwicklung und Anwendung der parametrischen Sedimentecholote SES-2000*

**Olaf Klippel** und **Ralf Fritschen** *Die neue SUMMIT Familie - Das Messsystem zur seismischen und seismologischen Datenakquisition*

**10:40 Uhr bis ca. 11:50 Uhr**

**Thomas Himmler** *Geomagnetische Vermessung mit Förstersonden/Fluxgates - Entwicklungsstufen und Anwendungsspektrum der FEREX Vertikalgradiometer*

**Ulrich Polom** *Hochauflösende seismische Struktur- und Parametererkundung mittels Scherwellen-Vibratoren und Land Streamern - Messtechnische Entwicklungen und Fallbeispiele*



## Donnerstag, 18. März 2010

		Vortrag 1	Vortrag 2	Vortrag 3	Vortrag 4	Vortrag 5	
Donnerstag	8:30–10:10	Saal 1 LS	<b>Melanie Harland</b> Radiomagnetotellurische Messungen zur Erdfallgefährdung in Münsterdorf (Kreis Steinburg, SH)	<b>Stefan Popp-Hofmann</b> Multifrequenz-Elektromagnetik zur Strukturerkundung auf einem rutschungsgefährdeten Hang	<b>Uwe Niethammer</b> UAV-basierte Luftbilddarfstellung von Hangrutschungen: Erfahrungen und Ergebnisse aus 3 Jahren Alpenbefliegung	<b>Markus Janik</b> Geoelektrik-Monitoring einer Hangrutschung	<b>Patrick Blascheck</b> Permanente seismische Überwachung der Kriechbewegung des Heumöser Hangs im Voralberg, Österreich
		Saal 2a SO	<b>Simone Dunkl</b> Systematische Untersuchungen der Beckeneffekte im Taipei-Becken, Taiwan	<b>Georg Rumpker</b> Deep earthquakes, depth-dependent anisotropy, and rift-induced lithospheric delamination beneath the Rwenzori Mts., East Africa	<b>Johannes Schweitzer</b> Seismicity between Fennoscandia and Svalbard during the IPY	<b>Jewgenij Torizin</b> Seismische Gefährdung im Nord-Tianschan (Zentralasien)	<b>Xiaohui Yuan</b> The Architecture of Colliding Tectonic Plates in Tibet
		Saal 3 CO2 / GT	<b>Christine Groß</b> Seismologisches Monitoring im Rahmen des Pilotprojektes CLEAN	<b>Matthias Strahser</b> Vergleichende seismische und geoelektrische 2D-Modellierungen für CCS-Monitoring in tiefen, salinen Formationen	<b>Hendrik Lamert</b> Risikobewertung von CO <sub>2</sub> -Leckagen — Monitoringkonzept mit hierarchischem Ansatz	<b>Wiete Hübner</b> Petrophysikalische Charakterisierung von Sandsteinen aus potentiellen Zielhorizonten der Bohrung Groß Buchholz GT1	<b>Heike Richter</b> Untertägige Laufzeittomographiemessungen zur Entwicklung eines seismischen Vorauserkundungssystems für tiefe Geothermiebohrungen
		Seminarraum MG	<b>Stefan Möller</b> Die Struktur der Tonga-Subduktionszone bei 24° S: Modellierung und Ergebnisse seismischer Refraktions- und Weitwinkelmessungen	<b>Jacob Geersen</b> Structure and Neotectonics of the Southern Chile Forearc 35° S – 40° S	<b>Heidrun Kopp</b> Strukturelle Heterogenität und seismisches Gefahrenpotential der Java-Subduktionszone	<b>Estella Weigelt</b> Ice sheet variations in the western Amundsen Sea Embayment as depicted in seismic data	<b>Claudia Podolski</b> Aufstiegskanäle in der südlichen Nordsee: Untersuchung der lateralen Ausdehnung und seismischen Anisotropie an einem Beispiel
	10:40–12:20	Saal 1 LS	<b>Sabrina Rothmund</b> Analyse von Bewegungen und Bruchstrukturen anhand hochauflösender Luftbilder am Beispiel der Super-Sauze-Hangrutschung (Franz. Alpen)	<b>Ulrich Schwaderer</b> Bestimmung von Bewuchsdichte und Bodenfeuchte durch Auswertung multispektraler Fernerkundungsbilder am Beispiel des Heumöser Hangs	<b>Matthias Grün</b> Quantitative Untersuchung der Udenisht Rutschung im Ohridsee (Mazedonien/Albanien)		
		Saal 2a SO	<b>Heiner Igel</b> QUEST: Quantitative estimation of Earth's Sources and Structure: A European Initial Training Network	<b>Torsten Dahm</b> Wurden die April 2009 Mikrobeben unter Hamburg durch Salzlösung verursacht?	<b>Klaus-G. Hinzen</b> Ursachen der Rotation des Sarkophages von Arttumpara in P1nara, SW-Türkei	<b>Ioanna Papoulia</b> Passive seismic tomography and tectonic deformation of the western Hellenic Arc	<b>Kasper D. Fischer</b> Observing and modelling sub-millimetre deformations in broadband seismic records: Examples from the 2006 Kythira (Greece) Earthquake
		Saal 3 GT	<b>Hermann Bunes</b> Hydrothermale Exploration in der bayerischen Molasse	<b>Ewald Lüschen</b> Geothermie Großraum München: 3D-Seismik Unterhaching 2009	<b>Marcin Pussak</b> Seismic exploration of a fractured geothermal system using 3D common reflection surface stack (CRS) techniques – A case study from the Polish basin		
		Seminarraum MG	<b>Matthias Meyer</b> Dakar Slide offshore Senegal, NW-Africa: An unusual large mass wasting event at extremely low slope angles	<b>Katja Lindhorst</b> Hydroacoustic and sedimentological invest. ... (Zuvor Mi. 8:50 – 9:10) <b>Julia Langenbacher</b> New hydroacoustic ... (Annulliert)	<b>Cian Wilson</b> Numerical Simulation of the 1958 Lituya Bay Landslide and Mega-Tsunami		
	13:00–16:00	Saal 2a PV	<p align="center"><b>Plenarvortrag, Abschlussveranstaltung und -vortrag</b>  <b>Gabi Laske</b> (UC San Diego)  <i>The Hawaiian PLUME project: searching for Hawaii's magma source with OBSs</i>  <b>Yosio Nakamura</b> (University of Texas)  <i>Lunar Seismology — Current Status and Future Challenges</i></p>				



**Poster (Übersicht)****Dienstag, 16. März 2010**

<b>UI P01</b>	<b>Philipp Buckup</b>	Anwendungen von Impuls-Neutron-Neutron-Messungen für die Qualitätskontrolle von Oberflächen- und Grundwasser.
<b>UI P02</b>	<b>Angelika Ullmann</b>	Aerogeophysikalische Untersuchungen für klimabezogene Grundwassermodellierungen
<b>UI P03</b>	<b>Ulla Noell</b>	Grundwassererkundung mit Transientenelektromagnetik (TEM) in Benjamin Aceval, Paraguay
<b>UI P04</b>	<b>Thomas Burschil</b>	Geophysikalische Erkundung des Grundwassersystems der Nordseeinsel Föhr
<b>UI P05</b>	<b>Claudia Dierke</b>	Vergleich verschiedener Messabläufe mobiler $\gamma$ -Spektrometrie
<b>UI P06</b>	<b>Michael Lay</b>	Comparative studies of soil magnetic susceptibility of EMI, preliminary results
<b>UI P07</b>	<b>Jan Igel</b>	Magnetische Viskosität tropischer Böden – Klassifikation hinsichtlich der Landminensuche
<b>UI P08</b>	<b>Andreas Walther</b>	Magnetometersonde MagCone <sup>®</sup>
<b>UI P09</b>	<b>Stephan Costabel</b>	Anwendung des MRS Verfahrens zur Erkundung besonders oberflächennaher Bereiche
<b>UI P10</b>	<b>Claudia Schütze</b>	Kombinierter Einsatz geophysikalischer und gasgeochemischer Methoden zur Erkundung tektonischer Störungszonen
<b>UI P11</b>	<b>Ludwig Zschornack</b>	Kombination von Geophysik und Direct Push in der Standortcharakterisierung
<b>UI P12</b>	<b>Holger Steeb</b>	Wave propagation phenomena in residual-saturated rocks
<b>UI P13</b>	<b>Sabine Müller</b>	Anwendung der Reverse-Time Migration auf Ultraschallmessungen an Beton in der zerstörungsfreien Prüfung
<b>UI P14</b>	<b>Mandy Braatz</b>	Bestimmung von Ultraschalldämpfung im Labor : Routine oder Abenteuer?
<b>UI P15</b>	<b>Marc Strutz</b>	Analysis of oscillatory fluid flow of a compressible fluid through deformable pipes - An experimental study
<b>UI P16</b>	<b>Tatjana Kerner</b>	Hubschrauberradiometrie zur Erkundung der Lockersedimentüberdeckung der Staßfurt-Egelter Salzstruktur
<b>UI P17</b>	<b>Thomas Leder</b>	Seismische Erkundung des Staßfurter Sattels am Beispiel des Bergsenkungsgebietes im Bereich des Strandbades Staßfurt
<b>UI P18</b>	<b>Yvonne Krause</b>	Geoelektrische Erkundung im Deckgebirge des Staßfurter Salzsattels
<b>UI P19</b>	<b>Matthias Keyser</b>	Seismologisches Monitoring im Bergschadengebiet Staßfurt
<b>UI P20</b>	<b>Ulrich Stenzel</b>	Ereignissuche setzungsinduzierter Bruchsignale in Staßfurt: Fortführung des Nanoseismic Monitoring und Signalmodellierung
<b>UI P21</b>	<b>Berhanu Gebregziabher</b>	Electrical resistivity and seismic refraction tomography applied for sinkhole investigations at Münsterdorf, North Germany
<b>UI P22</b>	<b>Charlotte Krawczyk</b>	Urban Reflection Seismics: A High-resolution Shear-wave Survey in the Trondheim harbour area, Norway
<b>UI P23</b>	<b>Hui Ding</b>	Geophysikalische Messungen auf der Schachtanlage Asse II
<b>UI P24</b>	<b>Olaf Bielenberg</b>	Airborne Laser Scanner Messungen zum Nachweis von Erdfällen und deren Veränderungen
<b>GE P01</b>	<b>Dominik Wallenstein</b>	Interaktive 3D-Optimierungssoftware zur Ansteuerung einer Multielektroden-Geoelektrik-Apparatur
<b>GE P02</b>	<b>Katrin Breede</b>	Messungen der spektralen induzierten Polarisation an Sand-Ton-Gemischen in Abhängigkeit der Wassersättigung

<b>GE P03</b>	<b>Anita Przyklenk</b>	Übergangsimpedanz kapazitiver Elektroden zur Bestimmung elektrischer Widerstände von Monden und Kometen
<b>BP P01</b>	<b>Matthias Kopf</b>	Seismic Prediction While Drilling (SPWD): Phased-Array Technologie für die gerichtete seismische Vorauserkundung in Bohrungen
<b>BP P02</b>	<b>Gerhard Kurz</b>	Logging while drilling - Evaluation of different porosity measurements with special consideration of NMR-LWD technology
<b>BP P03</b>	<b>Mohamed Abu-Hashish</b>	<b>Formation Evaluation and Reservoir Characterization of Nul-lipore Reservoir in Ras Fanar Oil Field, Gulf of Suez, Egypt</b> (Annulliert)
<b>BP P04</b>	<b>Mike Müller-Petke</b>	Joint interpretation of surface-NMR and borehole-NMR data
<b>BP P05</b>	<b>Firas Alali</b>	Identifying Clay Content with Nuclear Magnetic Resonance (NMR)
<b>BP P06</b>	<b>Tino Radic</b>	Profilhafte Magnetic-Resonance-Sounding (MRS) Messungen
<b>BP P07</b>	<b>Norbert Zisser</b>	Dependence of SIP response on temperature
<b>GG P01</b>	<b>Piotr Skiba</b>	Homogene Bouguer-Karte 1:1.000.000 der Bundesrepublik Deutschland
<b>GG P02</b>	<b>Rudolf Widmer-Schnidrig</b>	Das neu installierte Supraleitende Gravimeter am BFO
<b>GG P03</b>	<b>Florian Schumacher</b>	A Multiscale Wavelet Solution Technique for the Geodetic Boundary Value Problem applied to Gravity Anomalies Data
<b>GG P04</b>	<b>Stefanie Zeumann</b>	Neue, übergreifende Untersuchungen zu Prozessen an aktiven Kontinentalrändern - Das Projekt NOGAPSGRAV
<b>GG P05</b>	<b>Hasan Çavşak</b>	Effekte der Erdkrümmung auf Schwere- und Geoidberechnungen
<b>GG P06</b>	<b>Gerald Gabriel</b>	Anomalien des erdmagnetischen Totalfeldes in der Bundesrepublik Deutschland 1:1.000.000 (DGRF 1980.0, 1000 m NN)
<b>GG P07</b>	<b>Malte Ibs-von Seht</b>	Hochaufgelöste aeromagnetische Messungen im Elbe-Weser-Küstenraum
<b>S1 P01</b>	<b>Anna Przebindowska</b>	Preprocessing of reflection seismic data for acoustic full waveform tomography
<b>S1 P02</b>	<b>Daniel Köhn</b>	On the influence of model parametrization in elastic full waveform tomography
<b>S1 P03</b>	<b>André Kurzmann</b>	Increasing robustness and convergence of FWT by time windowing
<b>S1 P04</b>	<b>Marco Paschke</b>	Waveform Tomography - Synthetic and Real Data Applications
<b>S1 P05</b>	<b>Franz-Hubert Haegel</b>	Spectral Induced Polarization and Electrical Impedance Tomography of Biological Material in Saturated and Unsaturated Sand
<b>S1 P06</b>	<b>Roland Martin</b>	Linear Model Uncertainty Computation in Electrical Imaging
<b>S1 P07</b>	<b>Claudia Schütze</b>	Großskalige elektrische Widerstandstomographie zur Erkundung tektonischer Scherzonen im Umfeld der Forschungsbohrung Rittsteig
<b>S1 P08</b>	<b>Christina Flechsig</b>	Electrical Resistivity Tomography to delineate the subsurface structure of active faults in W Bohemia/CR
<b>S1 P09</b>	<b>Thomas Günther</b>	Advanced resistivity inversion using a new generation of BERT — Examples
<b>S1 P10</b>	<b>Roland Blaschek</b>	Modellierung von Geoelektrik-Problemen mit COMSOL und MATLAB (2D)

<b>S1 P11</b>	<b>Xiaoming Chen</b>	From forward modelling of MT phases over 90° towards 2D anisotropic inversion
<b>S1 P12</b>	<b>Nikolaus Bleier</b>	Efficient homogenization of micro-structures showing plastic deformations
<b>S1 P13</b>	<b>Lasse Lambrecht</b>	Simulation seismischer Wellen mit der Spektralen-Finite-Elemente-Methode zur Vorauserkundung im Tunnelbau
<b>S1 P14</b>	<b>Matthias Halisch</b>	Das Unsichtbare sichtbar machen - fortgeschrittene Porenraumanalyse mittels hochauflösender Röntgen Computertomografie
<b>S1 P15</b>	<b>Olaf Hellwig</b>	Complex frequency shifted perfectly matched layers in 2.5D FDTD seismic modeling
<b>S1 P16</b>	<b>Lisa Rehor</b>	2D/3D-Ausbreitungskorrektur für flachseismische Oberflächenwellen
<b>S1 P17</b>	<b>Andreas Samuel Eisermann</b>	Combined SDEM/SPH method for the simulation of macroscopic soil dynamics in slope failure processes
<b>S1 P18</b>	<b>Cédric Legendre</b>	Large-scale shear wave velocity structure of the upper mantle beneath Africa and surrounding regions
<b>EW P01</b>	<b>Martin Breunig</b>	Development of an interconnected information and simulation system (EGIFF subproject 1)
<b>EW P02</b>	<b>Martin Breunig</b>	Spatial data mining and integration of vague textual information for the prediction of landslide susceptibility
<b>EW P03</b>	<b>Martin Breunig</b>	Geo-database support for the geotechnical assessment of mass movements (EGIFF subproject 3)
<b>EW P04</b>	<b>Lilian Blaser</b>	Analysis of potential tsunami imminence with Bayesian Networks
<b>EW P05</b>	<b>Elise Delavaud</b>	Near-real time estimation of expected spatial distribution of strong shaking based on teleseismic recordings
<b>EW P06</b>	<b>Conny Hammer</b>	An event detection and waveform classification system for the volcanic task force action
<b>PL P01</b>	<b>Michael Bierhaus</b>	Numerical modeling of giant collision events and their implications for the heat budget of the planetary interior
<b>PL P02</b>	<b>Dirk Elbeshausen</b>	The remarkable Carancas Meteorite Impact Event: New insights into the effect of atmosphere and topography
<b>GZ P01</b>	<b>Franz Jacobs</b>	Pionier der Geomagnetik - Adolf Schmidt (1860 - 1944)

## Mittwoch, 17. März 2010

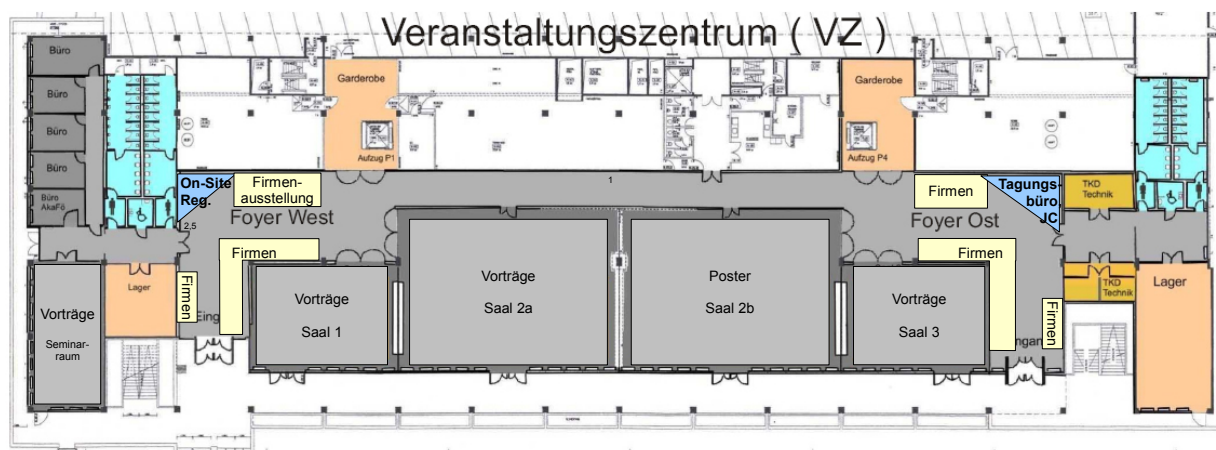
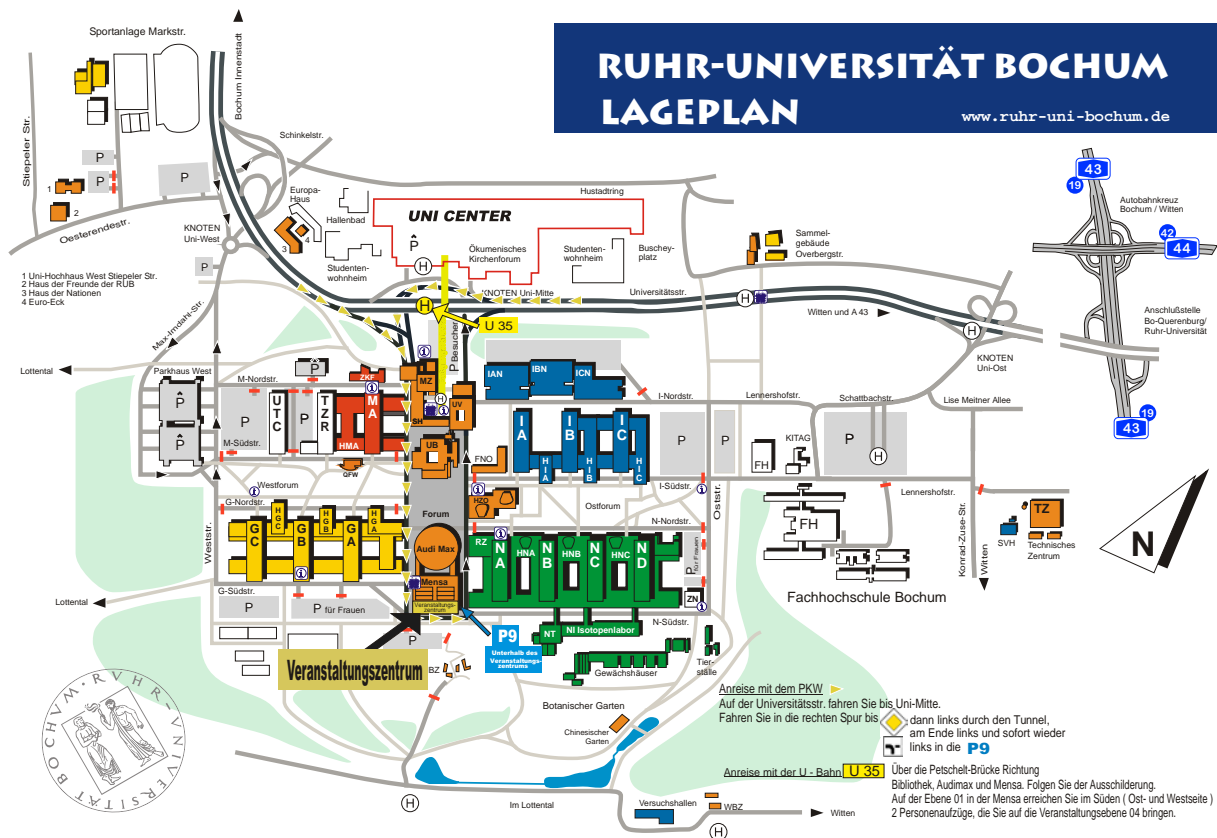
<b>GT P01</b>	<b>Hermann Buness</b>	Faziesverteilung innerhalb einer Karbonatplattform
<b>GT P02</b>	<b>Judith Orilski</b>	Hydraulische Untersuchungen und Bohrlochmessungen in der Wealden-Formation im GeneSys-Projekt Hannover
<b>GT P03</b>	<b>Anne Bublitz</b>	Magnetotellurische Messungen im Oberrheingraben zur Unterstützung geothermischer Erkundungen
<b>GT P04</b>	<b>Diane Eydam</b>	Magnetotellurics for geothermal prospection of crystalline basements
<b>GT P05</b>	<b>Roland Otto</b>	Zur Bestimmung von Wärmeleitfähigkeiten der oberflächennahen Lockergesteinsschichtenfolge in Norddeutschland
<b>GT P06</b>	<b>Barbara Heuer</b>	gebo-Geosystem: Für eine wirtschaftliche Nutzung von Geothermie in Niedersachsen
<b>GT P07</b>	<b>Eva Szalaiova</b>	Seismic assessment of geothermal potential: Concept and application. Part 1: Concept
<b>GT P08</b>	<b>Katja Iwanowski</b>	Seismic assessment of geothermal potential: Concept and application. Part 2: Application
<b>GT P09</b>	<b>Thies Beilecke</b>	Seismische Analysen der Norddeutschen Trias für die hydrogeothermale Nutzung
<b>GT P10</b>	<b>Rüdiger Thomas</b>	Akquisition einer einfach überdeckten 3D-Seismik und Processing-Techniken zur Erkundung eines geothermischen Reservoirs
<b>CO2 P01</b>	<b>Michael Becken</b>	A controlled source EM feasibility study at the carbon sequestration pilot site at Ketzin, Germany
<b>CO2 P02</b>	<b>Raphael Holland</b>	Prediction of hydraulic parameters at test-site Schillerslage using SIP field and lab measurements
<b>CO2 P03</b>	<b>Dana Kießling</b>	Geoelektrische Oberflächen-Bohrlochmessungen am Standort Ketzin: Monitoring der CO <sub>2</sub> -Verteilung im Reservoir
<b>CO2 P04</b>	<b>Peter Bergmann</b>	Investigation of electrode configurations utilized in crosshole geoelectric monitoring of CO <sub>2</sub> injection at Ketzin (CO <sub>2</sub> SINK project)
<b>CO2 P05</b>	<b>Ivanova Alexandra</b>	Time-Lapse Seismic Surface Measurements for Monitoring CO <sub>2</sub> Storage in the CO <sub>2</sub> SINK Project (Ketzin, Germany)
<b>AG P01</b>	<b>Judith Elger</b>	Zur Erkundung der Grundwassersituation der wikingerzeitlichen Hafentadt Haithabu
<b>AG P02</b>	<b>Norbert Klitzsch</b>	Application of Capacitive Geoelectrics (OhmMapper) for Geoarchaeology
<b>AG P03</b>	<b>Norbert Klitzsch</b>	Combined interpretation of geophysical data - a geoarchaeological case study from the Orkhon Valley, Central Mongolia
<b>AG P04</b>	<b>Andreas Fettig</b>	Georadar und Induzierte Polarisation an einem Bohlenweg im Uchter Moor
<b>AG P05</b>	<b>Jana Beerbaum</b>	Anwendung geophysikalischer Methoden in der Gartendenkmalpflege: eine Fallstudie
<b>AG P06</b>	<b>Filiz Bilgili</b>	Multisensorische Untersuchungen am Danewerk - Ein 30 km langes Befestigungswerk
<b>AG P07</b>	<b>Jan Wittke</b>	Kartierung einer römischen Wasserleitung mit geophysikalischen Messmethoden
<b>AG P08</b>	<b>Sarah Held</b>	Entwicklung eines Metalldetektorarrays für die archäometrische Prospektion
<b>EM P01</b>	<b>Michael Becken</b>	Source field effects in magnetic transfer functions?
<b>EM P02</b>	<b>Annika Rödder</b>	SHOTEM Messungen im Arava Valley, Jordanien

<b>EM P03</b>	<b>Kristina Tietze</b>	Magnetotelluric 3D inversion models from the San Andreas Fault near Parkfield, California
<b>EM P04</b>	<b>Paul Sass</b>	Preliminary results of magnetotelluric data analysis from the continental collision zone in Central Asia
<b>EM P05</b>	<b>Dirk Brändlein</b>	A permanent array of magnetotelluric stations located at the South American subduction zone in Northern Chile.
<b>EM P06</b>	<b>Alexander Löwer</b>	Die neue Frankfurter Magnetotellurik Processingsoftware am Datenbeispiel von Uganda
<b>EM P07</b>	<b>Henrik Sabra</b>	Gosetal anomaly a possible Rammelsberg Twin? Status after initial drilling, reinterpretation and model modification.
<b>EM P08</b>	<b>Gerlinde Schaumann</b>	Aeroelektromagnetische Untersuchungen im norddeutschen Küstenraum
<b>EM P09</b>	<b>Raphael Dlugosch</b>	Developments in surface NMR instrumentation allowing improved efficiency of water detection and 2D surveys
<b>EM P10</b>	<b>Michael Molenda</b>	Electroseismic characterization of fractured (permeable) zones using boreholewaves
<b>EM P11</b>	<b>Julia Holzhauer</b>	Experimental evidence for seismoelectric waves at test-site Schillerslage.
<b>EM P12</b>	<b>Bernd Kröger</b>	Führung seismoelektrischer Signaturen an geologischen Wellenleitern
<b>RD P01</b>	<b>Tanja Tillmann</b>	Georadarmessungen auf Sylt und Amrum: Radarstratigraphie zweier Nehrungshaken
<b>RD P02</b>	<b>Tina Martin</b>	Untersuchungen zur Detektion von Granitgrenzsteinen mit Georadar
<b>RD P03</b>	<b>Norman Wagner</b>	Broadband electromagnetic characterization of two-port rod based transmission lines for dielectric spectroscopy in porous media
<b>RD P04</b>	<b>Marco Heigel</b>	Modellierung der Sensitivität der Bodenwelle auf vertikale Geschwindigkeitsvariationen
<b>SO P01</b>	<b>Sonja Greve</b>	Rayleigh wave dispersion and anisotropy in the Tyrrhenian Sea
<b>SO P02</b>	<b>Kathrin Lieser</b>	Dispersionsanalyse von Rayleighwellen in Zentral- und Süd-zentralchile
<b>SO P03</b>	<b>Felix M. Schneider</b>	Receiver function analysis in seismological network across the Pamir
<b>SO P04</b>	<b>Samir Lamara</b>	Toward a waveform tomography of the Hellenic Subduction Zone
<b>SO P05</b>	<b>Jimin Lee</b>	Manual and automated locations of the microseismicity in the SE Aegean using EGELADOS network data
<b>SO P06</b>	<b>Andreas Schmidt</b>	Bestimmung von Zeitkorrekturen mittels Wellenformvergleich für OBS-Daten
<b>SO P07</b>	<b>Christian Sippl</b>	Analyse der Seismizität der Pamir-Tien Shan Region in Zentralasien: erste Ergebnisse und Einordnung in regionale Tektonik
<b>SO P08</b>	<b>Tobias Baumann</b>	Seismologische Signalanalyse im urbanen Umfeld zur Klassifizierung von transienten Ereignissen mithilfe von selbstorganisierenden Karten
<b>SO P09</b>	<b>Tobias Mueller-Wrana</b>	Investigation and characterisation of mid- and north- Atlantic seismic sources with 3-component arrays
<b>SO P10</b>	<b>Nicolai Gestermann</b>	Ein Beitrag zur Evaluierung des CTBT-Verifikationssystems

<b>SO P11</b>	<b>Marcus Walther</b>	Seismic Handler development
<b>SO P12</b>	<b>Lion Krischer</b>	ObsPy: A Python toolbox for seismology <i>Interaktive Anwendung und schnelle Prototypenentwicklung</i>
<b>SO P13</b>	<b>Lars Krieger</b>	Anwendung eines Algorithmus' zur Bestimmung von Centroid-Momententensordlösungen auf vulkanische und induzierte seismische Daten
<b>SO P14</b>	<b>Sigward Funke</b>	Bohrlochgeophon Hennebach (Vogtland) - Testmessungen im Schwarmbebengebiet
<b>SO P15</b>	<b>Klaus-G. Hinzen</b>	Domitoring': Seismische Stationen im Kölner Dom
<b>SO P16</b>	<b>Thomas Plenefisch</b>	<b>Seismische Beobachtungen zum Erdbeben bei Nachterstedt vom 18. Juli 2009 (Annulliert)</b>
<b>SO P17</b>	<b>Eva Stierle</b>	Non-Double-Couple components of seismic moment tensors for aftershocks of the 1999 Izmit Earthquake
<b>SO P18</b>	<b>Marten Stübs</b>	Estimation of source parameter and moment magnitude of earthquakes in Sumatra region
<b>SO P19</b>	<b>Lissy ScharTEL</b>	Suche nach Herdmodellen des 2004 Sumatra-Andaman Bebens für die Modellierung der Anregung tieffrequenter Eigenschwingungen
<b>SO P20</b>	<b>Anna Zoporowski</b>	Correlation of Aftershock Locations with Coulomb Stress Change and Dilatation for the 2009 L'Aquila Earthquake
<b>SO P21</b>	<b>Günter Leydecker</b>	Erdbebenkatalog für Deutschland mit Randgebieten für die Jahre 800 bis 2008
<b>MG P01</b>	<b>Sonja Suckro</b>	Tektonische Entwicklung zwischen Kanada und Grönland erste Ergebnisse der Krustenstruktur in der südlichen Baffin Bay
<b>MG P02</b>	<b>Jashar Arfai</b>	Geological evolution of the West Luzon Basin (South China Sea, Philippines)
<b>MG P03</b>	<b>Sascha Brune</b>	Submarine slope failures at the eastern Sunda Arc: Bathymetry analysis and tsunami modeling
<b>MG P04</b>	<b>Ingo Heyde</b>	Marine geophysikalische Untersuchungen in der Davisstrasse und der südlichen Baffinbucht zwischen Kanada und Grönland
<b>MG P05</b>	<b>Hannes Koopmann</b>	The glaciotectionic thrust-fault complex north of Heligoland
<b>MG P06</b>	<b>Gabriele Uenzelmann-Neben</b>	Changing currents and climate in the Amundsen Sea
<b>MG P07</b>	<b>Jens Grützner</b>	Palaeoceanographic significance of sedimentary features at the Argentine continental margin revealed by multichannel seismic reflection data
<b>MG P08</b>	<b>Lars Planert</b>	Buildup and gas hydrate system of mound structures offshore Costa Rica revealed by 2D MCS seismic data



# Lagepläne

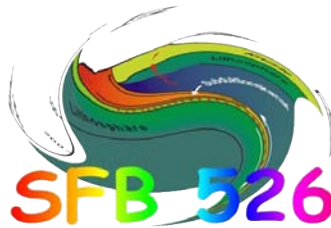


**Wir bedanken uns bei allen Sponsoren für ihre Unterstützung!**



**VORWEG GEHEN**

**GDF SUEZ**



GeoPro Gesellschaft für  
geophysikalische Untersuchungen mbH  
[www.geopro.com](http://www.geopro.com)



**CDM**



**Gravity Consult GmbH**  
Ingenieurbüro für Bodendynamik, Jena

Gravtec Gravimeter Service



**GEOTECHNOLOGIEN.**

**ExxonMobil**

